

بررسی شاخص شدت زمستان در شمال غرب ایران

حسن حیدری^۱- استادیار آب و هواشناسی، گروه جغرافیا، دانشگاه ارومیه، ارومیه، ایران

علیرضا موقری^۲- استادیار آب و هواشناسی، گروه جغرافیا، دانشگاه ارومیه، ارومیه، ایران

تاریخ دریافت: ۱۳۹۷/۱۰/۱۲ تاریخ تصویب: ۱۳۹۸/۴/۲

چکیده

امروزه مدیریت بحران حوادث اقلیمی به ویژه در خصوص نگهداری شریان‌های ارتباطی (جاده‌ها) در فصل زمستان اهمیت زیادی دارد و کشورها هرساله بودجه‌های فراوانی را به این امر اختصاص می‌دهند. این مطالعه بر مبنای آمار ۱۸ ایستگاه سینوپتیک در شمال غرب کشور در فصل سرد (از اول اکتبر تا آخر مارس) در دوره آماری ۱۹۸۶-۲۰۱۵ انجام و با توجه به عدم گزارش ارتفاع برف و مقدار تجمعی آن در ایستگاه‌های سینوپتیک کشور، در این پژوهش از مقدار تجمعی درجه روز یخ‌بندان به عنوان شاخص استفاده شد. بررسی‌ها نشان می‌دهد که ایستگاه‌های سراب، ماکو و تکاب مهم‌ترین کانون‌های شدت زمستانی است و در عین حال ایستگاه تکاب شدیدترین فصل زمستان را در دوره موردمطالعه به خود اختصاص داده است. همچنین مشخص شد که سال ۱۹۸۸ به عنوان سردترین و ۱۹۹۸ به عنوان گرم‌ترین زمستان منطقه بوده است. تحلیل سینوپتیک دوره آماری مورد بررسی مشخص نمود که آنومالی منفی ارتفاع ژئو پتانسیل به میزان ۱۰-۱۵ متر سبب سرمایش شدید در سال ۱۹۸۸ گردیده و نیز آنومالی مثبت آن با بیش از ۳۵+ متر منجر به گرمایش غیرعادی فصل سرد در ۱۹۹۸ شده است.

کلمات کلیدی: ایران، شاخص اقلیمی، سینوپتیک، شدت زمستان، شمال غرب.

۱- مقدمه

هر فصلی دارای ویژگی‌ها و مشخصات خاص اقلیمی است. بر این اساس فصل زمستان و بهویژه وقایع شدید آن همچون طولانی بودن دوره سرما، کولاک، بارش سنگین برف می‌تواند منجر به تأثیرات مخرب اقتصادی و اجتماعی شود (Malcheva et al., 2019) در این میان یکی از بخش‌های مهم آسیب‌پذیر، بخش حمل و نقل هست که بشدت تحت تأثیر دمای و بارش‌های زمستانی قرار دارد.

در این راستا در کشورهای مختلف دنیا که تحت تأثیر بارش برف، درجه حرارت‌های زیر صفر و یخندهان قرار دارند، برای مدیریت جاده‌ها و شبکه حمل و نقل خود، هرساله با صرف بودجه‌های کلان حفظ و نگهداری و کنترل خاصی را برای این منظور به اجرا می‌گذارند؛ بنابراین با شدت یافتن بارش برف و یخندهان و ایجاد شرایط خاص همچون کولاک و موارد دیگر، می‌بایست با نوعی مدیریت بحران از بروز حوادث و تلفات جلوگیری کرد. چنان‌که مشخص شده است مدیریت بحران می‌تواند بدون افت سطح خدمات موردنیاز سبب کاهش هزینه‌ها شود (Mews et al., 2019). با توجه به اینکه شاخص شدت زمستان¹ عبارت است از سنجش تأثیر نسبی هوای زمستانی بر عملیات نگهداری جاده و عملیات کنترل ترافیکی، لذا با استفاده از داده‌های سیستم اطلاعات هوای جاده‌ای یا داده‌های طولانی‌مدت به این هدف می‌توان نائل شد. درواقع شاخص شدت زمستان شاخصی است که از ترکیب اثرات هوایی مختلف در یک مقدار مشخص تشکیل شده تا سازمان مربوطه را برای کارایی مقایسه و نرمال نمودن جغرافیایی و زمانی هزینه‌ها کمک نماید. بدین سبب در کشورهای مختلف، دولتها برای تعیین میزان قابلیت عملیات نگهداری زمستانی در طول زمان، هزینه‌ها را تابعی از شدت زمستان تلقی می‌کنند. در زمینه‌های دیگری نیز همچون مدیریت بحران، کشاورزی، ترافیک، حیات و حشر (McCaffery et al., 2011) و گرمایش منزل، این موضوع نمودهای خاص خود را می‌تواند داشته باشد؛ بنابراین هرچند در بسیاری از کشورها بر اساس آگاهی‌های تجربی میزان بودجه در مناطق مختلف برای حفظ و کنترل و نگهداری شبکه راه‌های مناطق کوهستانی تعیین می‌گردد که در برخی موارد نیز خیلی دقیق نمی‌تواند باشد. اهمیت این موضوع به قدری مهم است که بدانیم در آمریکا سالانه بودجه‌ای معادل ۲/۳ میلیارد دلار (Curtis et al., 2011) و در کانادا بیش از ۴/۵ میلیون تن نمک در سطح جاده‌ها استفاده می‌شود (Sugget et al., 2006).

Assel (1980) با استفاده از مقدار ارتفاع برف و تعداد روزهای با بارش برف در دو سطح کمتر و بیشتر از ۶ اینچ و نیز دمای‌های حداقل و حداقل، شاخص شدت زمستان را برای پنسیلوانیای آمریکا ارائه کرد. (Knudsen 1994) به کمک متغیرهای دمای سطح جاده و نیز میزان بارش حداقل یک سانتی‌متری برف، شاخصی را برای دانمارک ارائه نمود. (Hulme 1982) بر اساس میانگین روزانه دما و نیز تعداد روزهای با پوشش زمینی برف و همچنین تعداد

¹ Winter severity index

شب‌های با دمای یخ‌بندان برای انگلستان ارائه کرد، هرچند که بعدها مشخص شد فرمول مذکور از نظر پیش‌بینی دارای ضعف‌هایی است. (Andrey et al. 2001) نیز با استفاده از تعداد روزهای با انباشت برف و تعداد روهای با میانگین دمای بین ۹-۱۰-تا ۱- درجه سانتی‌گراد، شاخصی را برای انتاریو کانادا ابداع نمود. او و همکارانش در سال ۲۰۰۳ با تجدیدنظرهایی فرمول دیگری برای اوتاوای کانادا، بر اساس داده‌های اقلیمی بیشتر و نیز تطبیق آن‌ها با تعداد تصادفات ارائه نمود. (Decker et al. 2001) نیز با استفاده از میانگین حداقل روزانه دما و میانگین روزانه بارش برف و نیز دمای روزانه یخ‌بندان، اختلاف میانگین حداقل و حدکثر دمای روزانه را در قالب برنامه پژوهش استراتژیک شاهراه‌ها در آمریکا ارائه کرد. (Assel 1980) با استفاده از میانگین حداقل دمای روزانه (زیر صفر درجه) و جمع تجمعی آن‌ها شاخصی را برای انگلستان معرفی نمود.

Hedjuk et al. (2014) با استفاده از میانگین دمای فصل زمستان و نیز تعداد روزهای یخ‌بندان و روزهای با پوشش برفی، شاخصی را برای لهستان ارائه کردند. در عین حال محققین همچون (Strong and Shvetov 2006) مدل‌هایی در خصوص ترافیک زمستانی، (Qui 2008) در رابطه با ترافیک و نگهداری زمستانی جاده‌ها، (Boselly 1993 and Edward 2011) در رابطه با نگهداری جاده و (Cerruti and Decker 2011) در مورد فعالیت‌های انسانی ابداع نمودند. بعضی از محققین همچون (Matthews et al., 2017) نیز با استفاده از دانش تخصصی و بهینه‌سازی ریاضی که در خصوص نمرات محاسبه شده بر اساس ۸ عامل آب و هوایی و یک حد آستانه‌ای گرمایش هوا در دوره‌های ۱۴ روزه انجام دادند، مدل خاصی را برای انتاریوی کانادا ارائه کردند.

تاکنون در ایران تحقیقی بر روی شدت زمستان بر مبنای شاخص‌های آب و هوایی و نیز طبقه‌بندی مربوط به زمستان انجام نشده است و در این خصوص تنها می‌توان به کار قویدل و خوشحال (۱۳۸۹) اشاره کرد که آن نیز باهدف بررسی سینوپتیک شدت زمستان در تبریز می‌باشد.

با توجه به اینکه بخش اعظم شمال غرب ایران کوهستانی بوده ولی وقوع یخ‌بندان و مقدار بارش برف از حیث شدت و مدت به یک اندازه نیست و ضمناً بودجه لازم نیز قابل توزیع به صورت یکسان نیست، از این‌روی ضرورت شناخت مبنی بر واقعیت‌های اقلیمی منطقه می‌تواند در فرآیند تخصیص بودجه لازم جهت حفظ و کنترل و نگهداری شبکه راه‌ها در منطقه شمال غرب گام مهمی در عملکرد مناسب سازمان‌های ذیریط باشد.

۲- مواد و روش

۱-۱- منطقه مورد مطالعه

منطقه شمال غرب ایران با توجه به ویژگی‌های توپوگرافی از نوعی وحدت توپوگرافی برخوردار است (طالقانی ۱۳۹۲:۹۸). این منطقه سرزمین ناهمگنی است که پست‌ترین نقطه آن در دشت مغان با ارتفاع ۲۰ متر و مرتفع‌ترین آن قله سبلان با ارتفاع ۴۸۸۸ متر می‌باشد. این منطقه در شرق به کوه‌های طالش که امتداد رشته البرز بوده و در جنوب به

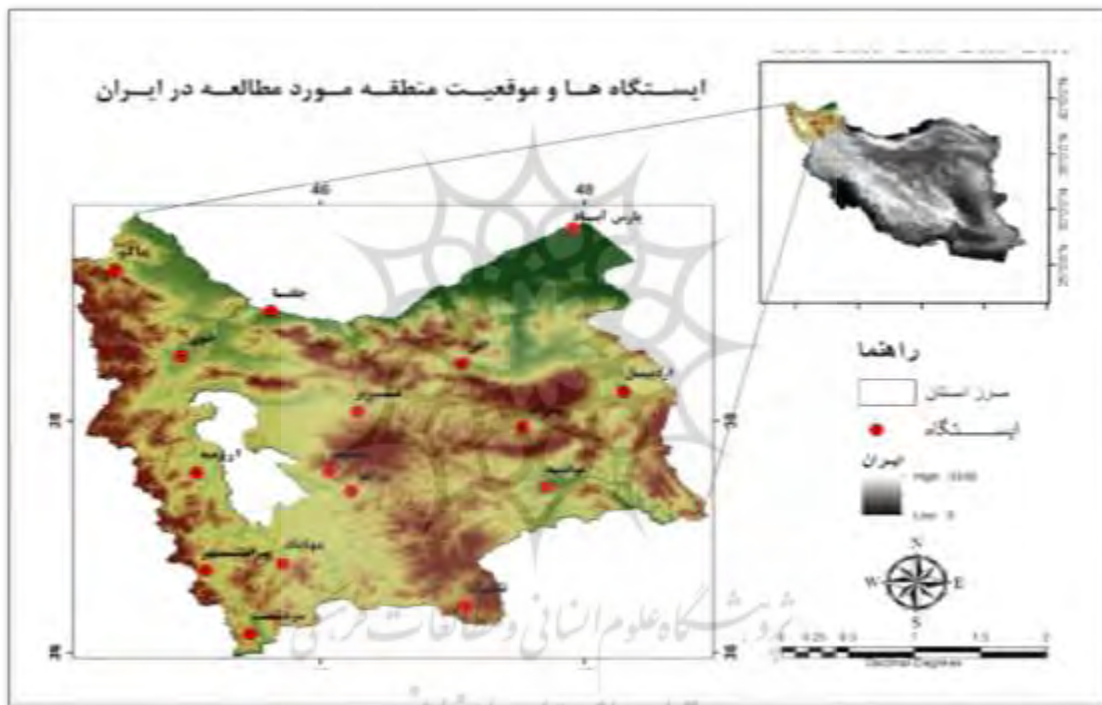
انتهای شمالی رشته زاگرس ختم می‌شود. رشته کوه قره داغ در امتداد کوههای قفقاز به طول ۲۲۰ کیلومتر از جبال آرارات، سرحد بین ایران و ترکیه و آذربایجان در شمال غرب شروع و تا کوهستان طالش ادامه دارد. رشته کوههای بزغوش، سبلان، صلوات، خروسلو، کوههای شهیدان، کوههای تکاب و کوههای منفرد سهند و قافلانکوه از دیگر ناهمواری‌های منطقه هستند. علیرغم کوهستانی بودن منطقه زمین‌های هموار و فرورفتگی‌هایی در آن واقع شده است. دشت مغان، جلگه‌های تبریز و ارومیه و سایر جلگه‌های اطراف دریاچه ارومیه و خود چاله دریاچه ارومیه از مشهورترین آنها است. به طور کلی منطقه شمال غرب به دلیل موقعیت جغرافیایی و پراکنده‌گی توپوگرافی بهویژه در فصل سرد دارای آب‌هوای سرد و کوهستانی بوده و عمدۀ بارش‌ها در این فصل به صورت برف نازل شده و یخ‌بندان نیز یکی از نمودهای بارز اقلیمی این فصل است.

۲-۲- داده‌ها و روش‌های تحلیل عددی

بررسی مدل‌های مختلفی که توسط محققین مختلف در خصوص شدت زمستان (۱۹۸۰-۲۰۰۶) ارائه شده حاکی از وجود نکات زیر است:

- (الف) بعضی مدل‌ها قابلیت انتقال پذیری ضعیفی داشته و به عبارت دیگر برای منطقه جغرافیایی خاصی طراحی شده‌اند.
 - (ب) پاره‌ای از مدل‌ها به جهت آنکه قادر اطلاعات لازم برای بسط دادن یا بکار بردن بودند، قابلیت خود را از دست داده‌اند.
 - (ج) برخی مدل‌ها به لحاظ آنکه به داده‌های زیاد نیاز داشته و در محاسبه شاخص نیز مورد دست‌کاری و تغییر قرار می‌گرفتند نیز قابلیت مناسبی نداشتند (ساجت و همکاران ۲۰۰۶:۲).
- همچنین باید به این نکته نیز اشاره کرد که بعضی از مدل‌ها نیاز به داده‌هایی دارند که به طور مستقیم از طریق سنجش‌های هواشناسی قابل دسترسی نیستند (مالچیوا و همکاران ۲۰۱۹).
- نظر به این که در ایستگاه‌های هواشناسی ایران ارتفاع برف و مقدار تجمعی ارتفاع روزانه آن اندازه‌گیری نشده و صرفاً آب معادل برف گزارش می‌شود، از این‌روی عملاً استفاده از مدل‌هایی که نیازمند ارتفاع برف بوده محدود نیست. از طرف دیگر به جهت آنکه معمولاً کمترین دماهای ثبت شده در فصل سرد به وقوع می‌پیوندد که این امر با وجود بارش برف و انباست آن موجبات افزایش انعکاس تابش و عدم امکان جذب انرژی بر روی زمین می‌شود. می‌توان گفت با در نظر گرفتن میانگین دماهای روزانه زیر صفر به نحوی اثرات حاصل از برف که موجب افت دما و درنهایت ایجاد یخ‌بندان و مشکلات آن را می‌توان پیگیری نمود.
- در این مطالعه داده‌های مورد استفاده، میانگین درجه حرارت روزانه ۱۸ ایستگاه سینوپتیک در شمال غرب ایران (شکل ۱) از اول اکتبر تا آخر ماه مارس سال میلادی بعدی در دوره آماری ۱۹۸۶-۲۰۱۵ است. بر این اساس به

دماهی زیر صفر یک عالمت جبری مثبت و به دماهی بالای صفر عالمت جبری منفی داده شد. سپس مقدار تجمعی درجه روز یخیندان در طی ماههای فوق محاسبه شد. در این رابطه اگر چنان چه مقدار تجمعی درجه روز یخیندان برای یک دوره مشخص، دمای بالای صفر درجه منفی باشد، مقدار تجمعی صفر و مقدار جمع تجمعی جدید از روز بعد آغاز می‌شود. بررسی نقشه شماره ۱ حاکی از پراکنش مناسب ایستگاه‌ها در سطح منطقه از حیث جغرافیایی و ارتفاعی می‌باشد. در عین حال یکی از مسائل مهم در بررسی شدت زمستان بیان درجه شدت آن است. چراکه هر درجه شدتی در هر منطقه آثار متفاوتی را از خود به جا می‌گذارد. چنانکه قبل از اشاره شد نزول دمای هوا به زیر صفر درجه و بارش برف و انباشت آن روی زمین، موجب افزایش



شکل ۱- نقشه ایستگاه‌های منتخب مورداستفاده در تحقیق

شدت یخیندان و بروز مشکلات می‌شود. در این رابطه برای آنکه شناخت مناسبی از درجه شدت زمستان به دست آید بر مبنای گروه‌بندی آسل (۱۹۸۰) عمل گردید. بر این اساس تعیین شدت زمستان در ایستگاه‌های مورد مطالعه در ۵ گروه انجام شد. بر مبنای این گروه‌بندی توزیع فراوانی تجمعی درجه روز یخیندان بیش از ۹۵ درصد به عنوان شدیدترین و کمتر از ۵ درصد به عنوان ملایم‌ترین گروه‌ها، ۱۵ درصد فاصله بالایی (۸۰ تا ۹۵ درصد) به عنوان شدیدتر از نرمال و ۱۵ درصد فاصله پایینی (۵ تا ۲۰ درصد) به عنوان ملایم‌تر از نرمال و حدفاصل بین ۲۰ تا ۸۰ درصد در گروه نرمال انجام گردید. با توجه به اینکه امروزه حدوث وقایع اقلیمی به صورت دوره‌ای به اثبات

رسیده و حتی بعضًا بهمنظور تعیین رفتار دوره‌های مذکور کارهای مختلفی در حیطه تغییرات اقلیمی انجام می‌شود، بدین دلیل در این رابطه اقدام به محاسبه مقادیر تجمعی داده‌های استاندارد شده درجه روز یخ‌بندان سالانه در ایستگاه‌های مورد مطالعه گردید تا وضعیت تغییر رژیم شدت زمستان در طول دوره آماری مشخص شود. نظر به اینکه شروع و پایان فصل یخ‌بندان نیز یکی از پارامترهای مهم در مدیریت بحران جاده‌ای و حتی در مقوله‌های مختلفی همچون کارهای عمرانی و کشاورزی است، لذا در این رابطه بر اساس تقویم ژولیوسی از ابتدای اکبر به عنوان اولین روز تقویمی انجام و پس از استخراج نتایج بر مبنای تقویم میلادی دقیقاً شروع و پایان فصل یخ‌بندان استخراج گردید. این موضوع از آن جهت حائز اهمیت است که روابط بین زمستان‌های با شدت بالا از حيث مدت آن نیز مورد بررسی قرار گیرد.

۲-۳-روش تحلیل سینوپتیک

همچنین بهمنظور بررسی افزایش یا کاهش تعداد درجه-روز یخ‌بندان و نیز شناسایی علت سینوپتیک حاکمیت شدید یا ضعیف زمستانی منطقه، اقدام به تهیه نقشه‌های ترکیبی شد. در این رابطه برای اندازه‌گیری تغییرات در گردش عمومی بزرگ مقیاس جو و همچنین مطالعه تأثیر گردش جوی بر شرایط حدی آب و هوایی، داده‌های ترکیبی میانگین گردش^۱ جو کل سال برای دوره آماری ۱۹۶۱-۱۹۸۵ به عنوان نماینده اقلیم پیشین و دوره آماری ۱۹۸۶-۲۰۱۶ به عنوان دوره ظاهر تغییر اقلیم (WMO, 1989) بر اساس داده‌های واکاوی شده NCEP/NCAR دریافت گردید. لازم به توضیح است که نقشه‌های MCC برای مقایسه تغییرات بین دو دوره زمانی به کار می‌روند. سپس نقشه‌های تفاضل^۲ از طریق تفریق دوره آمار جدید از دوره آماری قدیم بهمنظور نمایش تغییرات گردش عمومی جو در این دو دوره با استفاده از نرم‌افزار Grads ترسیم گردید. نقشه‌های ترکیبی با استفاده از متغیرهای زیر ترسیم گردید:

- ارتفاع رئوبتانسیل تراز ۵۰۰ هکتوپاسکال
- امکای سطح زمین
- چرخدنگی نسبی تراز ۵۰۰ هکتوپاسکال
- ضخامت جو
- دمای هوای سطح زمین

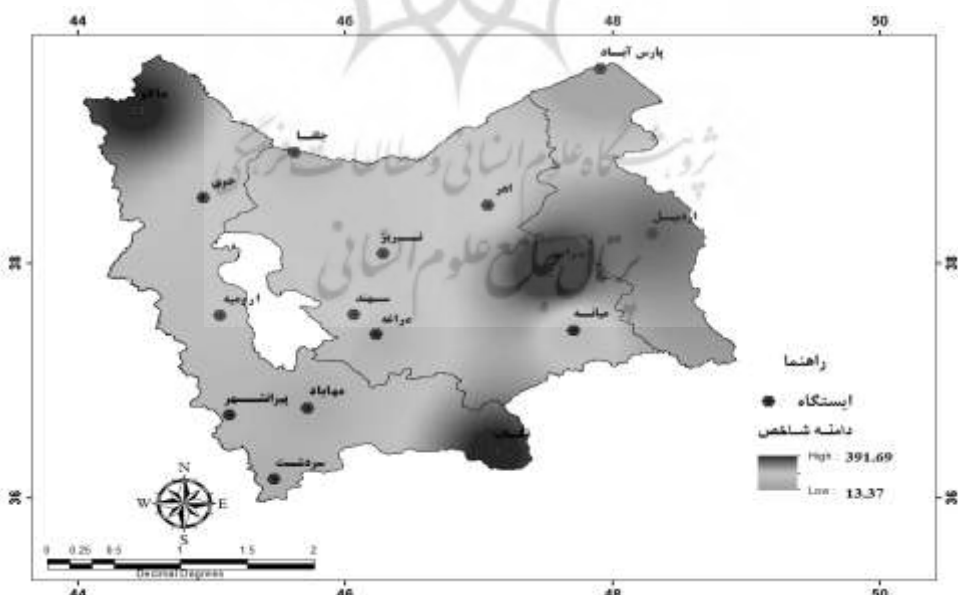
سپس به تحلیل نقشه‌ها اقدام گردید و نتایج آن با خروجی شاخص‌های حدی دما مقایسه گردید تا تأثیر گردش عمومی جو منطقه بر تغییرات دما مشخص گردد.

¹ Mean Circulation Composites
² difference Map

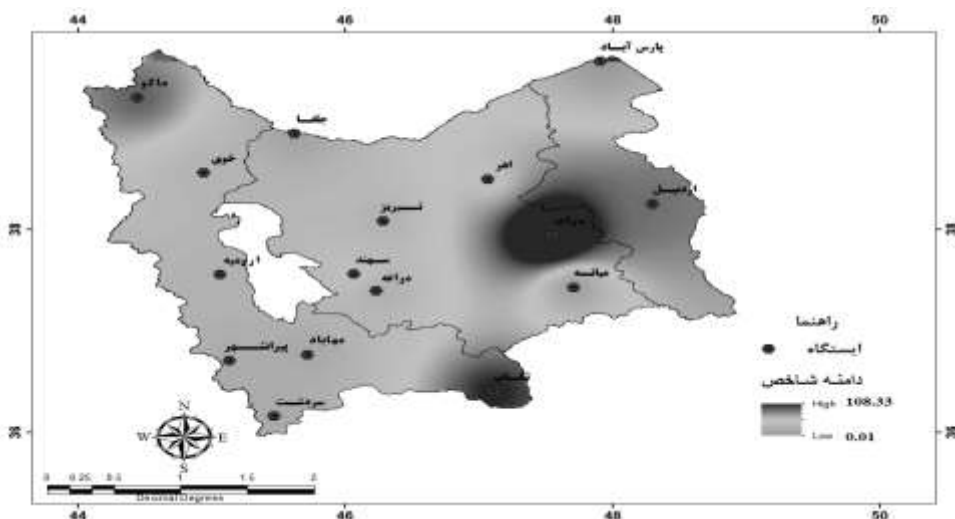
۳-نتایج و بحث

۱-۱-نتایج تحلیل‌های عددی

بررسی نقشه میانگین درجه روز یخبندان منطقه بیانگر تفکیک مناطق از همدیگر است. چنانکه غرب و جنوب و شمال شرق دریاچه ارومیه و نیز منطقه پارس‌آباد اصولاً دارای درجه روز یخبندان کمتری بوده که شاید علت این امر ناشی از اثر تعديل دریاچه ارومیه، پایین بودن ارتفاع (در جلفا و پارس‌آباد) باشد. احتمالاً با تشديد خشک شدن دریاچه ارومیه در سال‌های آینده گستره و شدت سردی فصل سرد دچار تغییراتی خواهد گردید. به‌حال بر اساس نقشه فوق ایستگاه سراب با ۳۹۲ درجه روز در شرق و ایستگاه ماکو با ۳۲۲ درجه روز در شمال غرب و تکاب با ۳۲۴ درجه روز در جنوب منطقه مهم‌ترین کانون‌های شدت زمستانی را به خود اختصاص داده‌اند. در صورتی که پارس‌آباد با ۱۳ درجه روز کمترین شدت زمستانی را در طول دوره آماری نشان می‌دهد. اطراف دریاچه ارومیه به‌ویژه در جنوب آن مقادیر بالتبه کمی را نشان می‌دهند. در عین حال بررسی نقشه حداقل مقادیر درجه روز یخبندان منطقه نشانگر وجود یک کانون در شرق منطقه یعنی در ایستگاه سراب است. به‌عبارت دیگر حتی در سال‌هایی که منطقه دارای زمستان معتدلی است، در ایستگاه سراب شدت سرمای زمستانی کم شده ولی با سایر ایستگاه‌ها به صورت فاحشی دارای تفاوت است. این در حالی است که ایستگاه‌های پارس‌آباد، جلفا، میانه، مهاباد، سردشت و پیرانشهر به ترتیب دارای درجه روز یخبندان بین صفرتا ۱۰ درجه روز یخبندان در طی اکبر تا آخر مارس یعنی ۶ ماه در سال می‌باشند. ایستگاه‌های مذکور همگی ارتفاع پایین‌تری نسبت با سایر ایستگاه‌ها می‌باشند.

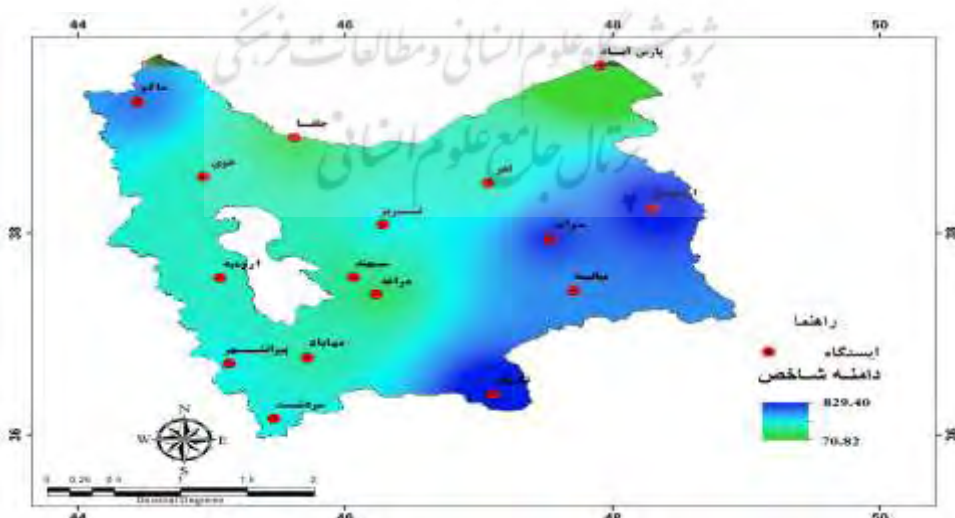


شکل ۲- نقشه میانگین درجه روز یخبندان در منطقه (۱۹۸۶-۲۰۱۵)



شکل ۳- نقشه حداکثر درجه روز یخبندان در منطقه (۱۹۸۶-۲۰۱۵)

بررسی نقشه حداکثر درجه روز یخبندان منطقه نیز حاکی از تشدید سرمای زمستانی در شرق (اردبیل با ۷۳ و سراب با ۷۰ درجه روز) و جنوب شرق (تکاب با ۸۳۰ درجه روز) و شمال غرب (ماکو با ۶۲۳ درجه روز) است. به عبارت دیگر شدیدترین زمستان منطقه در تکاب و اردبیل رخ می‌دهد. مسلماً ارتفاع بالای ایستگاه‌های مذکور همراه با تراکم ارتفاعات اطراف آن‌ها از یک طرف و از طرف دیگر قرار داشتن در معرض ورود توده‌های سرد شمالی و بعض‌اً غربی شرایط را در فصل زمستان برای افزایش شدت سرمای زمستان فراهم می‌آورد. در عین حال همان‌گونه که در جدول ۱ دیده می‌شود ایستگاه پارس‌آباد با داشتن انحراف معیار ۱۴/۹ درجه روز دارای کمترین نوسانات و ایستگاه سراب با انحراف معیار ۱۸۳ درجه روز بیشترین نوسانات در یخبندان فصل



شکل ۴- نقشه حداکثر درجه روز یخبندان منطقه (۱۹۸۶-۲۰۱۵)

سرد می‌باشد. ضمناً میزان تغییرپذیری شدت یخبندان فصل سرد در ایستگاه‌های مناطق پست زیاد و ایستگاه‌های مناطق مرتفع کم است. بر این اساس در بعضی از سال‌ها که در بخش‌های پست منطقه، یخبندان شدید باشد، می‌تواند عضلات زیادی را در تمام ارکان حمل و نقل و سایر بخش‌ها ایجاد کند.

همچنین بررسی تاریخ شروع و پایان فصل سرد نشان می‌دهد که در کانون‌های شدید زمستانی منطقه، فصل سرد از دهه سوم ماه نوامبر شروع و تا دهه سوم ماه مارس طول می‌کشد. ولی در بخش‌هایی همچون پارس‌آباد از دهه اول دسامبر آغاز و در نیمه اول فوریه به اتمام می‌رسد. به عبارت دیگر در ایستگاه‌هایی که فصل سرد زود آغاز می‌شود دیرتر نیز تمام می‌شود؛ اما در حالتی کلی حاکمیت فصل سرد از نیمه اول دسامبر تا نیمه آخر مارس است. بر این اساس می‌توان گفت شروع و پایان فصل سرد در شمال غرب به صورت هماهنگ عمل نموده، هرچند شدت آن بر حسب ویژگی‌های منطقه‌ای متفاوت است.

برای آنکه بتوان گروه‌بندی مشخصی را از حیث ایستگاهی ارائه نمود جدول ۲ تهیه شد. تهیه این جدول از این حیث مهم است که امکان گروه‌بندی شدت زمستان را طی دوره آماری موردنرسی میسر نموده و در عین حال می‌توان ایستگاه‌ها را باهم مقایسه نمود. همان‌طور که در جدول ملاحظه می‌شود، تکاب با ۷۵۴ درجه-روز به عنوان شدیدترین و پارس‌آباد با صفر درجه-روز ملایم‌ترین درجه-روز یخبندان سالانه را در

جدول ۱- مقادیر میانگین، حداقل، حداکثر درجه روز یخبندان و تاریخ شروع و پایان فصل سرد در منطقه

ایستگاه	حداکثر	حداقل	میانگین	انحراف معیار	ضریب تغییرپذیری	شروع فصل سرد	پایان فصل سرد
اهر	۴۷۹	۳۰	۱۹۷	۱۰۵	۰,۵۳	۲۵ نوامبر	۲۲ مارس
جلفا	۳۷۱	۵	۱۳۹	۱۱۸	۰,۸۵	۷ دسامبر	۱۸ فوریه
میانه	۶۲۳	۳	۱۶۴	۱۴۱	۰,۸۶	۱۳ دسامبر	۲۵ فوریه
مراغه	۳۹۴	۱۳	۱۴۰	۹۹	۰,۷۰	۸ دسامبر	۹ مارس
تبریز	۵۱۹	۱۵	۱۶۷	۱۱۱	۰,۶۶	۶ دسامبر	۱۰ مارس
سراب	۷۰۹	۱۰۸	۴۰۱	۱۸۳	۰,۶۶	۲۱ نوامبر	۲۶ مارس
سهند	۴۳۹	۲۷	۲۰۶	۱۱۰	۰,۵۳	۶ دسامبر	۱۸ مارس
ماکو	۶۴۱	۵۷	۳۲۸	۱۵۶	۰,۴۷	۲۷ نوامبر	۱۶ مارس
خوی	۴۷۴	۱۵	۱۹۴	۱۲۸	۰,۶۶	۵ دسامبر	۷ مارس
ارومیه	۴۸۴	۱۴	۱۷۵	۱۱۷	۰,۶۶	۶ دسامبر	۱۷ مارس
پیرانشهر	۵۱۸	۱۰	۱۶۰	۱۲۰	۰,۷۵	۱۰ دسامبر	۶ مارس
سردشت	۵۰۹	۹	۱۴۱	۱۱۲	۰,۷۹	۹ دسامبر	۱۰ مارس

ادامه جدول ۱

ایستگاه	حداکثر	حداقل	میانگین	انحراف معیار	ضریب تغییرپذیری	شروع فصل سرد	پایان فصل سرد
مهاباد	۴۶۰	۸	۱۳۰	۱۰۳	۰,۷۹	۸ دسامبر	۲ مارس
تکاب	۸۳۰	۶۲	۳۳۰	۱۷۷	۰,۵۴	۲۷ نوامبر	۱۹ مارس
پارس آباد	۷۱	۰	۱۴	۱۵	۱,۰۸	۷ دسامبر	۲ فوریه
اردبیل	۷۳	۴۷	۲۹۱	۱۷۰	۰,۵۹	۲۱ نوامبر	۲۶ مارس

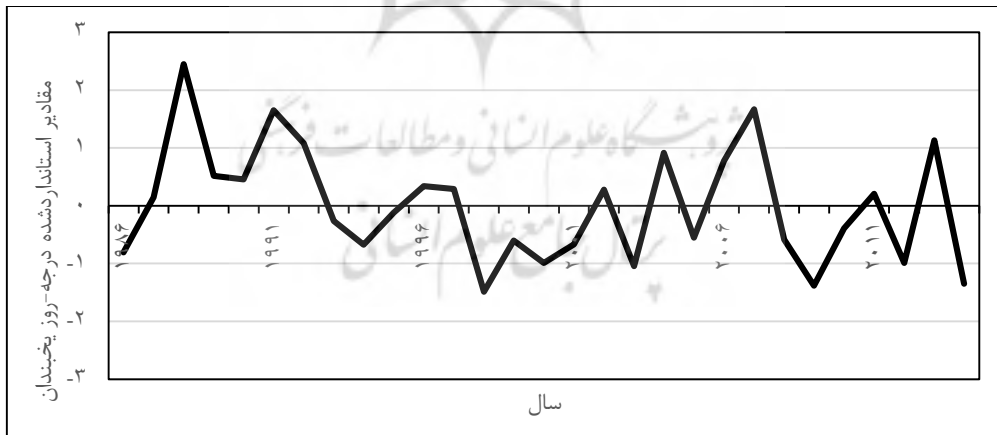
طول دوره آماری به خود اختصاص داده‌اند. این در حالی است که سراب با ۵۵۰ درجه-روز یخ‌بندان در گروه شدیدتر از نرمال و ۱۹۱ درجه-روز در حالت نرمال بیشترین میزان درجه-روز یخ‌بندان را نشان می‌دهد. به عبارت دیگر اصولاً فصل سرد در ایستگاه سراب عملتاً شدید است و به عنوان واقعیت اقلیم فصلی زمستان آن است ولی در تکاب در بعضی از سال‌ها شدت یخ‌بندان به مراتب خیلی شدیدتر از سایر ایستگاه‌های مورد مطالعه بوده، در واقع ایستگاه شاخص وقوع رکوردهای شدید یخ‌بندان منطقه شمال غرب است. نظر به اینکه غرب منطقه مورد مطالعه اصولاً دارای بارش برف بیشتری در فصل سرد هست لذا در سال‌هایی که میزان نزول برف بیشتر باشد، شدت سرمای زمستانی از شدت و تداوم زمانی بیشتری برخوردار خواهد بود. در عین حال در ایستگاه پارس آباد هرچند مقدار درجه-روز یخ‌بندان کمتر است ولی در طی دوره آماری مورد مطالعه تا ۵۴ درجه-روز یخ‌بندان نیز دیده شده که در مقایسه با صفر درجه-روز قابل مقایسه نبوده و این اختلاف زیاد می‌تواند موجبات صدمات زیان‌بار اقتصادی در منطقه پارس آباد را فراهم نماید. البته باید گفت که این افزایش شدت زمستانی نمی‌تواند به صورت محلی در پارس آباد رخ دهد و بیشتر در ارتباط با حاکمیت سینوپتیک توده‌های سرد در منطقه شمال غرب است. همچنین به منظور تعیین دامنه تغییرات در طی سال‌های آماری و اینکه نوع و نحوه تغییرات در منطقه، صرف‌نظر از ویژگی‌های ایستگاه‌ها به چه صورتی بوده است، نمودار مقادیر استاندارد شده مجموع درجه-روزهای یخ‌بندان ایستگاه‌های منطقه تهیه گردید (شکل ۵). بررسی این شکل حاکی از روندهای متغیر صعودی و نزولی در طی دوره آماری هست که در این بین سال‌های ۱۹۹۸، ۱۹۹۱، ۲۰۰۷

جدول ۲- گروه‌بندی درجه-روز یخ‌بندان در ایستگاه‌های مورد مطالعه طی دوره آماری

ایستگاه	ملایم‌تر از نرمال (۵ درصد)	نرمال (۲۰ درصد)	شدیدتر از نرمال (۸۰ درصد)	شدید (۹۰ درصد)
اهر	۴۳	۹۰	۲۷۷	۴۲۷
جلفا	۶	۲۶	۲۵۸	۳۶۶

ادامه جدول ۲

ایستگاه	ملایم‌تر از نرمال (۵ درصد)	نرمال (۲۰ درصد)	شدیدتر از نرمال (۸۰ درصد)	شدید (۹۵ درصد)
میانه	۸	۴۸	۲۳۹	۵۲۱
مراغه	۱۴	۶۱	۲۰۸	۳۷
تبریز	۱۹	۸۳	۲۵۳	۴۳۳
سراب	۱۱۴	۱۹۱	۵۵۰	۷۰۸
سهند	۳۴	۹۷	۳۱۵	۴۲۲
ماکو	۶۵	۱۸۱	۵۰۰	۶۰۲
خوی	۱۷	۸۲	۳۷۳	۴۵۵
ارومیه	۱۸	۸۵	۲۶۳	۴۴۴
پیرانشهر	۱۲	۵۷	۲۵۲	۴۸۳
سردشت	۱۶	۴۶	۲۳۴	۴۲۳
مهاباد	۱۰	۵۶	۱۹۱	۳۸۵
تکاب	۷۵	۱۶۰	۴۴۷	۷۵۴
پارس‌آباد	۰	۴	۲۳	۵۴
اردبیل	۵۸	۱۲۷	۴۶۵	۶۵۲

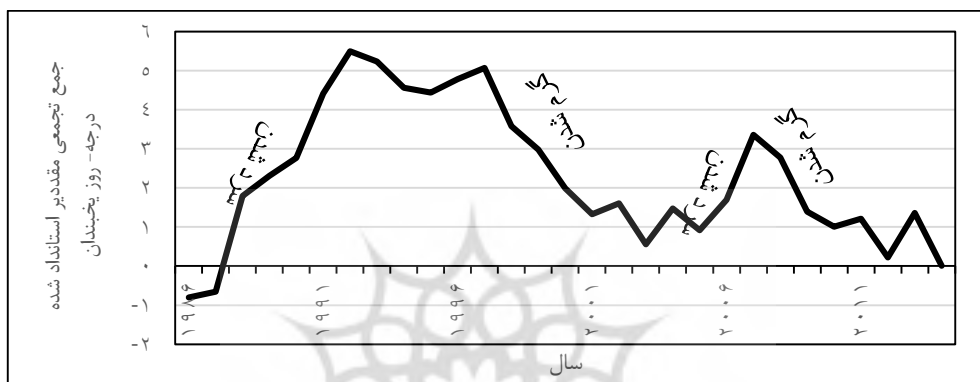


شکل ۵ -نمودار تغییرات مقادیر استاندارد شده درجه-روز یخیندان منطقه

سال‌های افزایشی و سال‌های کاهشی مقادیر درجه-روز یخیندان می‌باشند.

در عین حال به منظور نیل به درک مشخصی از روند دوره‌ای مقادیر کاهش یا افزایش درجه-روز یخیندان (شدت

زمستان) در منطقه بر اساس مقادیر تجمعی استاندارد شده سالانه ایستگاه‌های مورد مطالعه تهیه گردید (شکل ۶). همان‌طور که در این شکل دیده می‌شود دوره آماری موردمطالعه شامل دو دوره سرد شدن (۱۹۸۶-۱۹۹۲ و ۲۰۰۷-۲۰۰۳) و دوره گرم (۱۹۹۲-۲۰۰۳) و (۲۰۱۴-۲۰۰۷) می‌باشد که البته شدت سرد شدن دوره دوره دوم ضعیفتر از دوره اول و در عین حال غلبه دوره گرم نسبت به دوره سرد کاملاً دیده می‌شود. قرار گرفتن خط نموداری در بالای صفر حاکی از حاکمیت کلی فصل سرد در منطقه است هرچند که روندهای سرد یا گرم شدن در مقایسه با شدت فصل سرد متفاوت است.



شکل ۶- نمودار انحراف از میانگین مقادیر تجمعی استاندارد شده

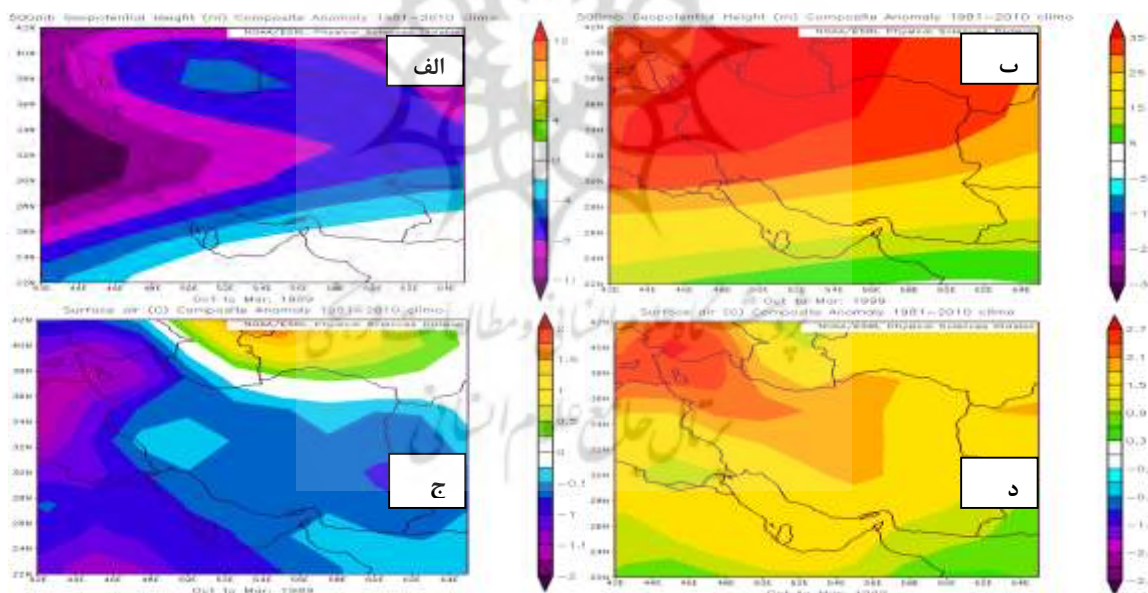
از طرف دیگر بررسی افزایش یا کاهش تعداد درجه-روز یخبندان و یا به عبارت دیگر تعیین حاکمیت شدید یا ضعیف زمستانی منطقه نشانگر آن است که وقوع هر کدام از این حالات به صورت همزمان اتفاق می‌افتد. چنان‌که سال ۱۹۸۸ به عنوان سردترین و ۱۹۹۸ به عنوان گرم‌ترین سال در طی سال‌های آماری موردمطالعه است.



شکل ۷- نمودار وقوع گرم و سردترین فصل سرد در ایستگاه‌های مورد مطالعه

۳-نتایج تحلیل‌های سینوپتیک

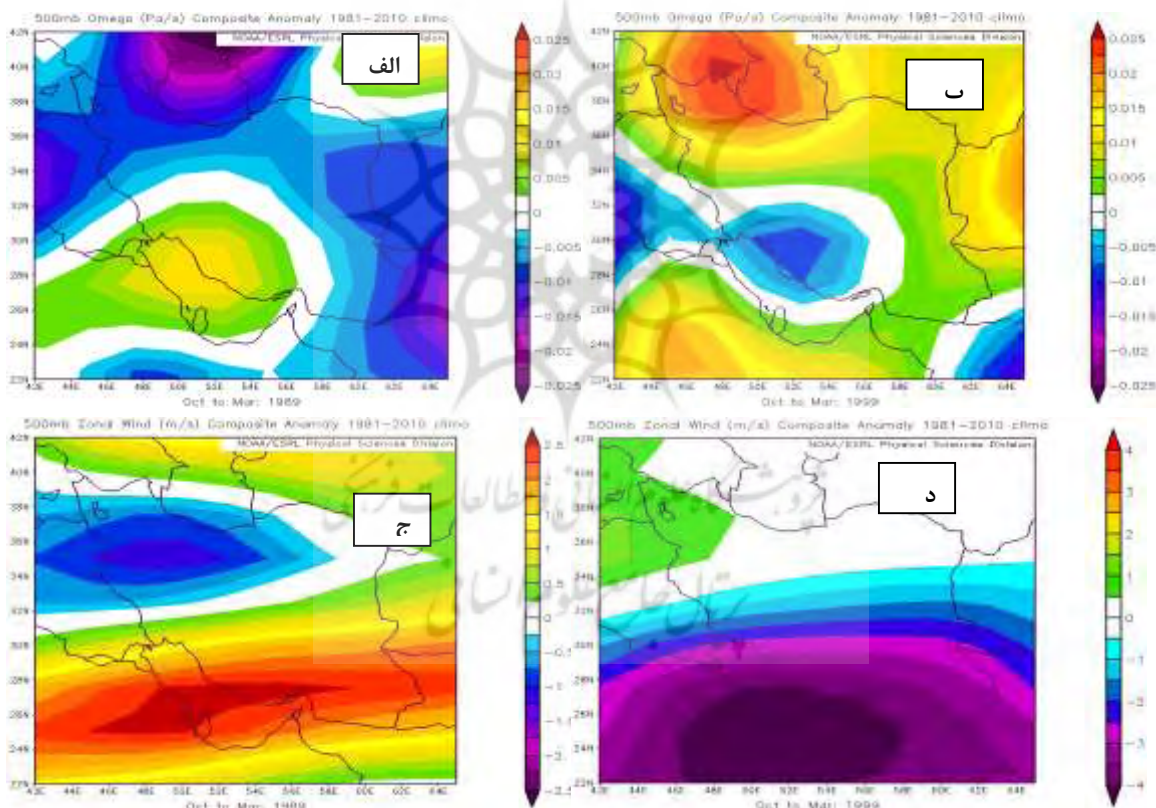
با توجه به اینکه وقوع زمستان‌های گرم و یا سرد قابل توجیه با شرایط ایستگاهی و توپوگرافی منطقه نبوده و تنها می‌توان علل آن را با ویژگی‌های سینوپتیک توضیح داد. لذا بر این اساس شکل ۸-الف نقشه ناهنجاری ارتفاع ژئوپتانسیل تراز ۵۰۰ هکتوپاسکال میانگین ماههای اکتبر تا مارس (دوره سرد) سال‌های ۱۹۸۹ و ۱۹۸۸ را نشان می‌دهد. همان‌گونه که مشهود است، منطقه موردمطالعه (شمال غرب کشور) آnomالی منفی ارتفاع ژئوپتانسیل را حتی به میزان ۱۰-متر نشان می‌دهد که حاکی از کاهش ضخامت جو در این دوره زمانی هست. به بیان دیگر، منطقه موردمطالعه نسبت به میانگین بلندمدت خود در دوره سرد سال ناپایدارتر گردیده است. نقشه آnomالی ارتفاع ژئوپتانسیل تراز ۵۰۰ میلی بار دوره سرد سال ۱۹۹۸ نیز حاکی از افزایش ضخامت جو کل کشور است که برای استان آذربایجان غربی میزان آن به بیش از ۳۵ متر می‌رسد که بیانگر از تشدید پایداری جو منطقه نسبت به میانگین بلندمدت می‌باشد (شکل ۸-ب). شکل ۸-ج نقشه ناهنجاری دمای هوای سطح زمین را برای سال ۱۹۸۸ نسبت به میانگین بلندمدت نشان می‌دهد. نکته جالب توجه، آnomالی منفی دما در شمال و شمال غرب کشور هست که این مقدار در استان آذربایجان غربی به بیش از ۲-درجه می‌رسد که حاکی از پاییز و زمستان سردتر از سال‌های دیگر است که کاملاً نتایج شاخص شدت زمستان را تائید می‌کند.



شکل ۸- نقشه ناهنجاری ارتفاع ژئوپتانسیل تراز ۵۰۰ هکتوپاسکال میانگین ماههای اکتبر تا مارس سال‌های ۱۹۸۸ و ۱۹۸۹ (الف)، نقشه ناهنجاری ارتفاع ژئوپتانسیل تراز ۵۰۰ هکتوپاسکال میانگین ماههای اکتبر تا مارس سال‌های ۱۹۸۸ (ب)، نقشه ناهنجاری دمای هوای سطح زمین دوره سرد سال ۱۹۸۸ (ج)، نقشه ناهنجاری دمای هوای سطح زمین دوره سرد سال ۱۹۹۸ (د)

نقشه آنومالی دمای هوای دوره سرد سال ۱۹۹۸ افزایش دما را در این سال نسبت به میانگین بلندمدت در کل کشور نشان می‌دهد که این میزان برای مناطق شمالی استان آذربایجان غربی حتی به بیش از ۳ درجه سلسیوس نیز می‌رسد که مطابق نتایج حاصل از محاسبه شاخص شدت زمستان است (شکل ۸-د).

شکل ۹-الف نقشه آنومالی حرکت قائم جو تراز ۵۰۰ میلی‌بار را برای ماههای اکتبر تا مارس سال ۱۹۸۸ و ۱۹۸۹ نشان می‌دهد. منطقه موردمطالعه (شمال غرب کشور) آنومالی منفی را منعکس می‌کند که مقدار آن حتی به -۰,۰۷ می‌رسد. پاسکال بر ثانیه می‌رسد که نشان‌دهنده تشديد ناپایداری جو منطقه نسبت به میانگین بلندمدت (۱۹۸۱-۲۰۱۰) است. نقشه ناهنجاری حرکت قائم جو تراز ۵۰۰ میلی‌بار سال ۱۹۹۸ برخلاف سال قبل (۱۹۸۸) آنومالی مثبت حرکت قائم جو را نسبت به میانگین بلندمدت نشان می‌دهد که نشان‌دهنده تشديد حرکات نزولی و درنتیجه پایدارتر شدن جو منطقه است. ناهنجاری مثبت در برخی مناطق شمال غرب ایران به بیش از ۰,۰۲۵ پاسکال بر ثانیه نیز می‌رسد (۹-ب).



شکل ۹- نقشه ناهنجاری حرکت قائم جو سطح ۵۰۰ میلی‌بار دوره سرد سال ۱۹۸۸ (الف)، نقشه ناهنجاری حرکت قائم جو سطح ۵۰۰ میلی‌بار دوره سرد سال ۱۹۹۸ (ب)، نقشه ناهنجاری باد مؤلفه مداری سطح ۵۰۰ میلی‌بار دوره سرد سال ۱۹۸۸ (ج)، نقشه ناهنجاری باد مؤلفه مداری سطح ۵۰۰ میلی‌بار دوره سرد سال ۱۹۹۸ (د)

شکل ۹-ج نقشه ناهنجاری باد مؤلفه مداری سطح ۵۰۰ میلی‌بار دوره سرد سال ۱۹۸۸ را نشان می‌دهد. آنومالی منفی باد مداری در منطقه موردمطالعه حاکی از تشدید جریانات نصف‌النهاری است که باعث انتقال هوای سرد از عرض‌های بالاتر می‌شود. برخلاف سال ۱۹۸۸ نقشه ناهنجاری باد مؤلفه مداری سطح ۵۰۰ میلی‌بار دوره سرد سال ۱۹۹۸ ناهنجاری مثبت باد مؤلفه مداری^۱ را نشان می‌دهد که حاکی از غلبه جریانات مداری بر جریانات نصف‌النهاری و درنتیجه عدم انتقال هوای سرد عرض‌های بالابر روی منطقه است که در گرم شدن این سال را به دنبال دارد (شکل ۹).

۴-جمع‌بندی

امروزه افزایش جمعیت و گسترش نیازهای انسانی از یک طرف و رشد و توسعه انواع وسایل نقلیه از طرف دیگر لزوم توجه بیشتر به موضوع حمل و نقل در کشورهایی با زمستان‌های سرد و پربرف، را به موضوعی مهم بدل ساخته است. بررسی‌های انجام‌شده در این مقاله درخصوص یکی از مناطق درگیر با این موضوع یعنی شمال غرب ایران بر اساس استفاده از مجموع مقادیر دماهی منفی روزانه حاکی از این نکته است که ایستگاه‌های سراب، ماکو، تکاب به عنوان کانون‌های شدید زمستانی منطقه بوده است. همچنین شدیدترین زمستان‌ها در ایستگاه‌های اردبیل و سراب در شرق و تکاب و ماکو در غرب منطقه به وقوع پیوسته و در این‌ین ایستگاه تکاب هم با ۸۳° درجه روز یخ‌بندان در طی دوره آماری بیشترین رکورد را به خود اختصاص داده است. در عین حال مشخص شد که در کانون‌های شدید زمستانی، فصل سرد زودتر شروع و دیرتر به اتمام می‌رسد. همچنین مشخص گردید که ایستگاه سراب طی سال‌های موردنرسی همیشه دارای زمستان‌های شدیدی بوده است. در عین حال معلوم شد که در منطقه دو موج سرمایش شدید (۱۹۸۶-۹۲ و ۱۹۸۷-۹۷) و گرمایش (۲۰۰۴-۹۲ و ۲۰۰۷-۱۹۹۲) به وقوع پیوسته که در این میان سال ۱۹۸۸ به عنوان سردترین و ۱۹۹۸ به عنوان گرمترین فصل زمستان می‌باشد.

با توجه به غیرعادی بودن این دو سال نسبت به حالت میانگین دوره آماری مورد مطالعه، تحلیل سینوپتیک انجام شد. بر مبنای این تحلیل‌ها مشخص شد که در سال ۱۹۹۸ کم شدن ضخامت جو موجبات ناپایداری بیشتر و درنتیجه ریزش هوای سرد عرض‌های بالا و افت دمای هوا و نهایتاً افزایش شدت سرمایش فصل زمستان در این سال شده است. در صورتی که در زمستان سال ۱۹۹۸ افزایش ضخامت جو سبب پایداری بیشتر و همچنین تشدید جریانات نزولی که معلول تاخیر در عقب‌نشینی پرفشار جنب حراره (STHP) بوده، منجر به افزایش دمای هوا و تجربه زمستان گرم در این سال گردیده است. با توجه به مطالعی که بیان شد، روش استفاده از جمع‌تجمعی درجه حرارت‌های منفی فصل سرد به دلیل نبود مقادیر ارتفاع برف و بعضی از پارامترها همچون دمای سطح جاده می‌تواند مناسب باشد، هرچند که در این‌ین خطاهایی نیز ممکن است وجود داشته باشد. Curtis et al., (۲۰۱۹) نیز بر ای نکته اشاره داشتند

که هرچند شاخص‌های شدت زمستانی ابداع شده در ایالات متحده بر پایه دما بوده ولی باید دانست که درجه حرارت برای بیان این شاخص کافی نبوده است. همچنین، Matthews et al., (۲۰۱۷) هم خاطر نشان کردند که تنوع توپوگرافی، اختلافات آب و هوایی، ویژگیهای متفاوت شبکه جاده‌ای، میزان تراکم جمعیت منطقه و حجم ترافیک متفاوت لزوم آن را می‌طلبد که محققین برای هر منطقه شاخص خاصی را طراحی نمایند تا از بروز خطاهای جلوگیری شود. بر این اساس به نظر می‌رسد دستگاه‌های ذیربطری حمل و نقل جاده‌ای کشور ضمن تلاش برای استفاده از شاخص‌های شدت زمستان، البته با خطای کمتر در شمال غرب، می‌بایست تمهدیات لازم را در خصوص ایجاد راهدارخانه‌های زمستانی با تجهیزات کامل در حوزه‌های شهرستانی سراب، اردبیل در شرق و تکاب، ماکو در غرب منطقه به عمل آورده و با مدیریت صحیح منابع و هزینه‌ها در عین صرفه‌جویی، بیشترین کارایی را داشته باشد.

کتابنامه

علایی طالقانی، محمود؛ ۱۳۹۲. *ژئومورفولوژی ایران*. تهران: انتشارات قومس. ۴۰ صفحه.
قویدل رحیمی، یوسف و خوشحال دستجردی، جواد؛ ۱۳۸۹. جستاری پیرامون سختی اقلیم زمستانی تبریز و ارتباط آن با نوسانات شمالگان. *فصلنامه مدرس علوم انسانی*. دوره ۱۴ شماره ۱ بهار ۱۳۸۹. صص ۱۷۹-۱۹۶.

- Andrey, J., Li, J., & Mills, B., 2001, January. A winter index for benchmarking winter road maintenance operations on Ontario highways. In 80th Annual Meeting of the Transportation Research Board, Washington, DC.
- Andrey, J., Mills, B., & Vandermolen, J., 2003. A temporal analysis of weather-related collision risk for Ottawa, Canada: 1990-1998. Transportation Research Board, Paper Number TRB2003-3488, Washington, DC.
- Assel, R. A., 1980. Maximum freezing degree-days as a winter severity index for the Great Lakes, 1897-1977. *Monthly Weather Review*, 108(9), 1440-1445.
- Boselly III, S. E., 1993. Road Weather Information Systems: What Are They and What Can They Do for You? *Transportation Research Record*, (1387).
- Cerruti, B. J., & Decker, S. G., 2011. The local winter storm scale: A measure of the intrinsic ability of winter storms to disrupt society. *Bulletin of the American Meteorological Society*, 92(6), 721-737.
- Decker, R., Bignell, J. L., Lambertsen, C. M., & Porter, K. L., 2001. Measuring efficiency of winter maintenance practices. *Transportation Research Record*, 1741(1), 167-175.
- Hejduk, A., & Hejduk, L., 2014. Thermal and snow conditions of winters and winter floods on example of Zagoźdżonka River. *Annals of Warsaw University of Life Sciences-SGGW. Land Reclamation*, 46(1), 3-16.
- Hulme, M., 1982. A new winter index and geographical variations in winter weather. *Journal of Meteorology*, 7(3), 294-300.
- Knudsen, Freddy, (1994. A Winter Index Based on Measured and Observed Road Parameters: In Proceedings of the 7th International Road Weather Conference SIRWEC, Seefeld, Austria, March 21-22, pp. 175-185.

- Malcheva, K., Popchristov, V., Marinova, T., & Trifonova, L., 2019, February. Complex approach for classification of winter severity in Bulgaria. In *AIP Conference Proceedings* (Vol. 2075, No. 1, p. 120011. AIP Publishing.
- Matthews, L., Andrey, J., Minokhin, I., & Perchanok, M., 2017. Operational Winter Severity Indices in Canada—From Concept to Practice. *Planning*, 53(54), 55.
- McCaffery, R. M., & Maxell, B. A., 2010. Decreased winter severity increases viability of a montane frog population. *Proceedings of the National Academy of Sciences*, 107(19), 8644-8649.
- Mews, J., 2013. Mapping winter weather severity index: Clear Roads, No. CR10-20, Feb.2013
- Qui, L., 2008. Performance measurement for highway winter operations (Doctoral dissertation): Iowa City: University of Iowa. Retrieved from <http://ir.uiowa.edu/etd/28/>
- Rissel, M. C., & Scott, D. G., 1985. *Staffing of maintenance crews during winter months* (No. 1019).
- Strong, C., & Shvetsov, Y., 2006. Development of roadway weather severity index. *Transportation research record*, 1948(1), 161-169.
- Suggett, J. M., Hadayeghi, A., Mills, B., Andrey, J. C., & Leach, G., 2006. Development of winter severity indicator models for Canadian winter road maintenance. In *Annual Conference & Exhibition of the Transportation Association of Canada, 2006. Congres et exposition annuels de l'Association des transport du Canada, 2006. Transportation Association of Canada*.
- Walker, C. L., Hasanzadeh, S., Esmaeili, B., Anderson, M. R., & Dao, B., 2019. Developing a winter severity index: A critical review. *Cold Regions Science and Technology*.
- WMO (World Meteorological Organization) (1989). The Changing Atmosphere: Implications for Global Security, Toronto, Canada, 27–30 June 1988, Geneva: Secretariat of the World Meteorological Organization.

